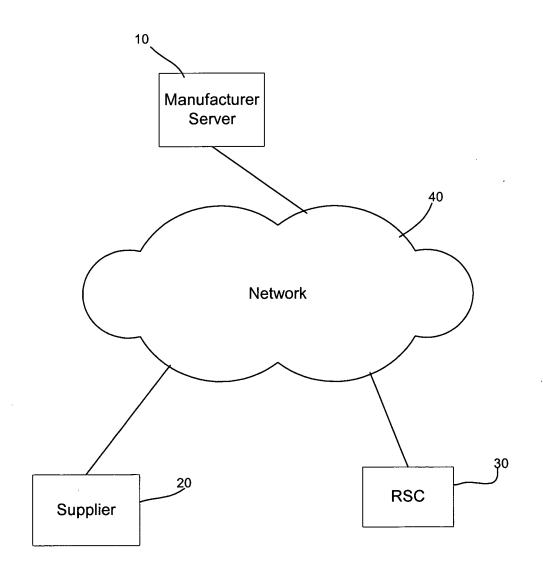




R. A. W Romo et al. SJO92000173US1 Sheet 1/8

FIG. 1







R. A. W Romo et al. SJO92000173US1 Sheet 2/8

FIG. 2

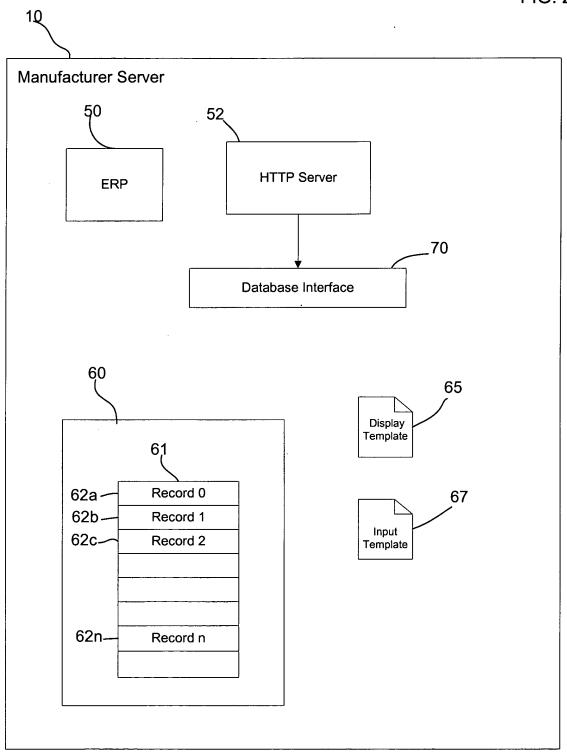


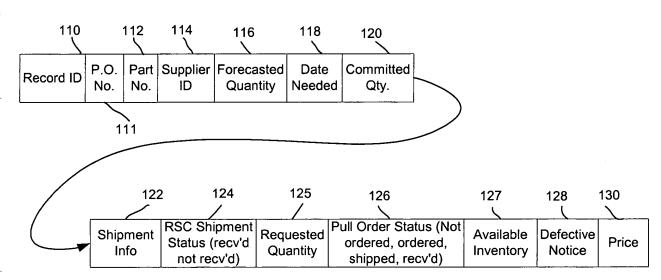






FIG. 3

Record 62



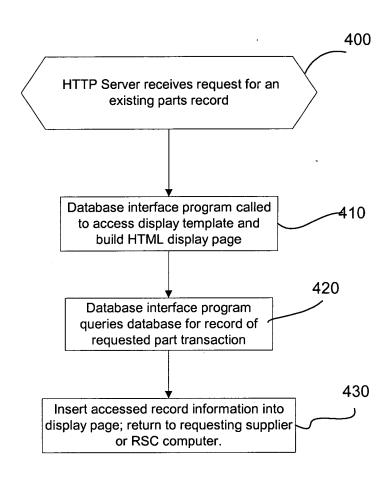
The first of the f





R. A. W Romo et al. SJO92000173US1 Sheet 4/8

FIG. 4

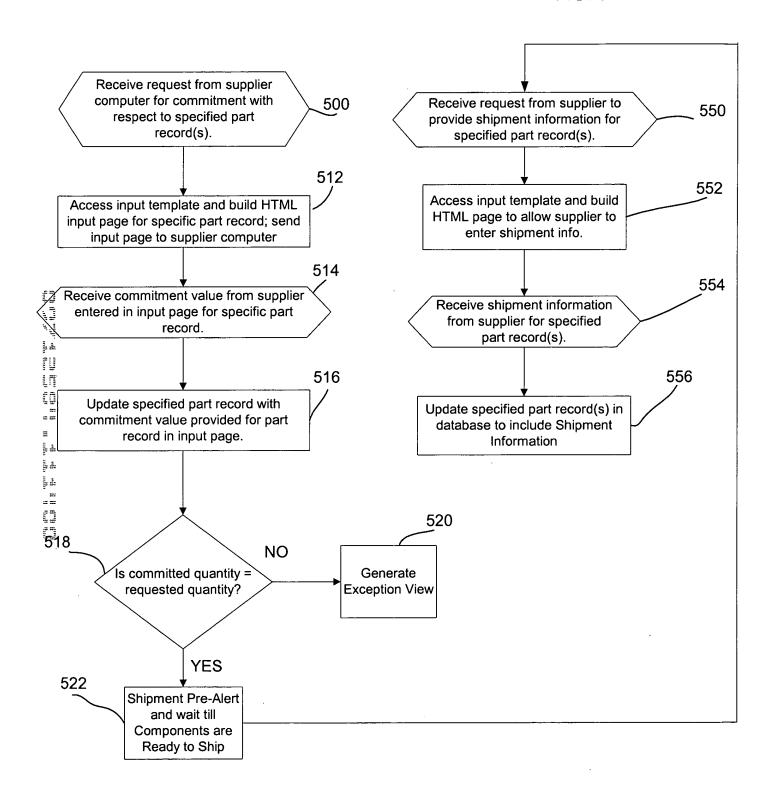




R. A. W Romo et al. SJO92000173US1 Sheet 5/8



FIG. 5

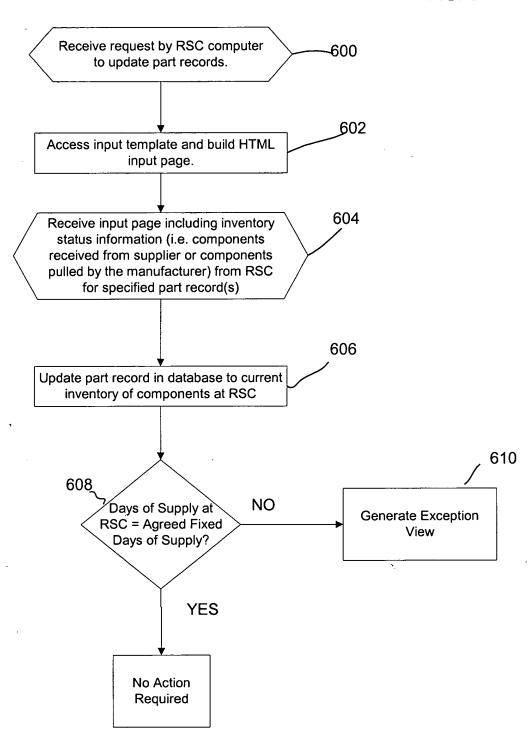




R. A. W Romo et al. SJO92000173US1 Sheet 6/8



FIG. 6

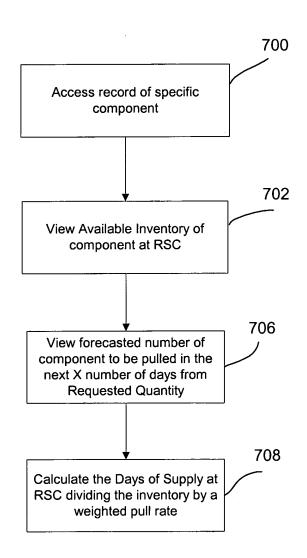




R. A. W Romo et al. SJO92000173US1 Sheet 7/8



FIG. 7





R. A. W Romo et al. SJO92000173US1 Sheet 8/8

FIG. 8

